



شیمی کانی و شکل‌گیری بلورهای آنالسیم در سنگ‌های آذرین شمال شرق مشکین شهر، شمال غرب ایران

محمد فدائیان *^۱، احمد جهانگیری^۱، محسن مؤید^۱

۱- گروه زمین شناسی، دانشکده علوم طبیعی، دانشگاه تبریز، ایران

۲- گروه زمین شناسی، دانشگاه پیام نور، تهران، ایران

(دریافت مقاله: ۹۴/۶/۱۵، نسخه نهایی: ۹۴/۹/۲)

چکیده: مجموعه سنگ‌های آذرین به سن اؤسن در شمال شرق مشکین شهر رخمنون دارند و بیشتر شامل آندزیت، بازالت آندزیتی، تفریت و گاهی آنالسیم تفریت هستند. این سنگ‌ها سرشت قلیایی با پتاسیم بالا و شوшуونیتی از خود نشان می‌دهند. بلورهای آنالسیم به صورت فنوکریستهای درشت شکل دار تا نیمه شکل دار به همراه کلینوپیروکسن در بیشتر سنگ‌های تفریتی و فلدسپاتوئیددار این منطقه حضور دارند. عدم وجود کانی‌های آبدار اولیه مانند آمفیبول و میکا، وجود شکستگی‌های فراوان در آنالسیم های مورد بررسی ناشی از افزایش حجم در خلال جانشینی سدیم به جای پتاسیم، وجود کلینوپیروکسن‌های کلسیم‌دار و پلاژیوکلاز به جای معادل سدیم‌دار آن‌ها نشانگر کافی نبودن سدیم اولیه و آب در ماقمای والد این سنگ‌ها برای تبلور اولیه آنالسیم است. نتایج حاصل از بررسی‌های پراش پرتو ایکس که وجود بی نظمی ناشی از جانشینی در ساختار آنالسیم را مشخص می‌کند، و نیز وجود کانی لوسیت به صورت میانبار در آنالسیم وجود آثاری از لوسیت اولیه در حاشیه کانی‌های آنالسیم، نشان‌دهنده تاثیر فرآیندهای ماقمایی تاخیری و ثانویه در ماقما در خلال سرد شدن و تبدیل کانی لوسیت به آنالسیم در اثر فرآیند جانشینی سدیم به جای پتاسیم در سنگ‌های مورد بررسی است.

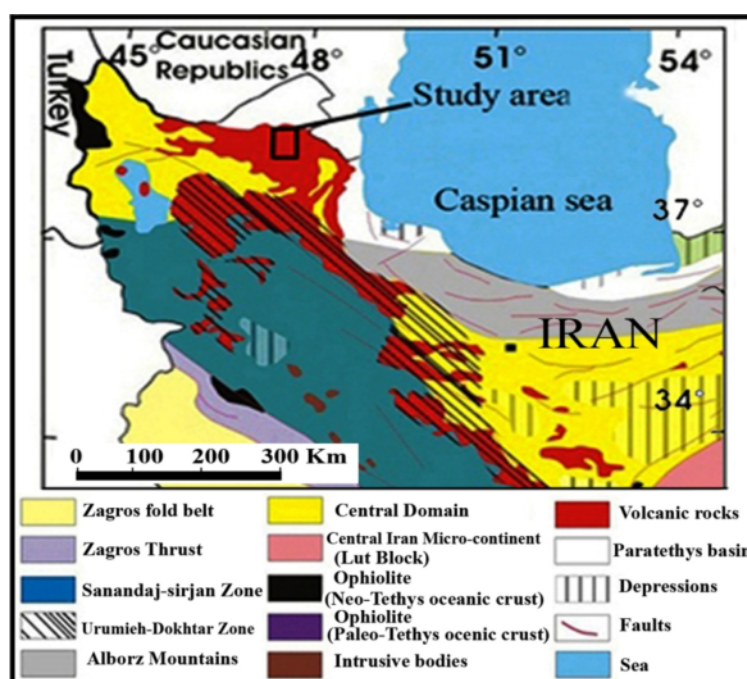
واژه‌های کلیدی: آنالسیم؛ شیمی کانی؛ خاستگاه؛ مشکین شهر؛ ایران.

شناسان برای قرار دادن این کانی در سری کانی‌های زئولیتی به وجود آید [۱۰ - ۱]. علاوه بر بررسی‌های زیادی که روی نمونه‌های طبیعی این کانی از جنبه‌های مختلف انجام گرفته، بررسی‌های آزمایشگاهی در مورد شرایط پایداری ترمودینامیکی و ژئوشیمیایی کانی آنالسیم نیز انجام گرفته که به نوبه‌ی خود می‌تواند رهیافتی برای تعیین خاستگاه این کانی در سنگ‌های مختلف باشد. خاستگاه آنالسیم چه به صورت یک کانی اولیه و یا ثانویه در سنگ‌های آذرین قلیایی، برای سالیان متمادی بر اساس بررسی‌های کانی‌شناسی، شیمی کانی و ایزوتوپی توسط پژوهشگران زیادی مورد بررسی قرار گرفته است [۱۰ - ۱].

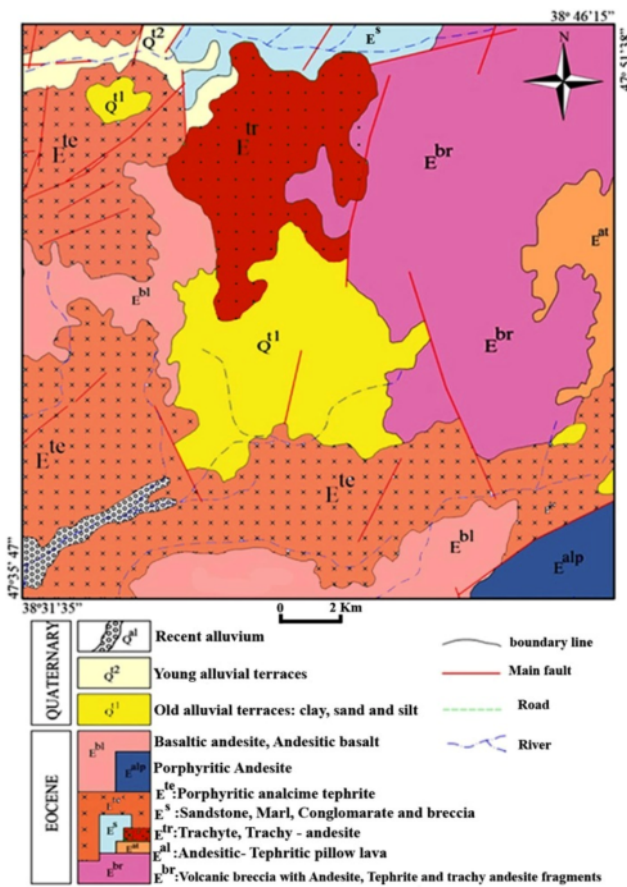
مقدمه
آنالسیم، به عنوان یک کانی آلومینوسیلیکات سدیم آبدار در سنگ‌های آذرین قلیایی به عنوان یک کانی معمول حاصل دگرسانی فرآیندهای گرمابی با دمای پایین است. تشابه ساختاری و ترکیب شیمیایی آنالیسم با کانی‌های گروه فلدسپاتوئیدی و نیز پیدایش آن در سنگ‌های آذرین اشباع شده همانند سایر فلدسپاتوئیدها سبب شد که برخی از کانی-شناسان این کانی را در گروه تکتوسیلیکات‌ها و خانواده فلدسپاتوئیدها رد‌بندی کنند. در حالی که برخی دیگر از ویژگی‌های ساختاری و نیز پیدایش این کانی در سنگ‌های رسوبی و دگرگونی‌های خفیف همراه با سایر زئولیت‌های دیگر باعث شده است که در سال‌های اخیر گرایش زیادی بین کانی-

آنذیت‌های ائوسن فوقانی باختر میانه، ناحیه عجمی [۲۲]، فنوکریست‌های آنالسیم درون سری شوشونیتی ائوسن فوقانی در جنوب عقدا (بین نائین و یزد) [۲۳]، درشت بلورهای آنالسیم به سن ائوسن فوقانی در درون فنولیت‌ها و تفریت‌ها واقع در شمال شهر بابک [۸]، آنالسیم‌های شمال باختری کرمان (ناحیه قلعه حسن علی) به سن دوران چهارم [۲۴]، همچنین در کوههای فقاز ترکیه نیز وجود آنالسیم گلی رنگ در سنگ‌هایی با ترکیب حد واسط در منطقه‌ی تراپزان ترکیه [۲۵] و نیز در منطقه پونتید در شمال شرق ترکیه [۱۰] گزارش شده‌اند. منطقه‌ی مورد بررسی در شمال غرب ایران و شمال شرق مشکین شهر در گستره $35^{\circ} 47^{\prime} - 47^{\circ} 38^{\prime}$ طول جغرافیایی شرقی و $31^{\circ} 15^{\prime} - 35^{\circ} 38^{\prime}$ عرض جغرافیایی شمالی در نقشه زمین‌شناسی منطقه لاهرود به مقیاس ۱:۱۰۰۰۰ [۲۶]، در منطقه‌ی البرز غربی و آذربایجان و منطقه‌ی ماقمایی ترشیاری قرار گرفته است [۲۹-۲۷] (شکل ۱). به عقیده‌ی [۳۰] این ناحیه در ایالت ماقمایی آذربایجان که بین دریای خزر و دریای سیاه قرار گرفته و به سمت غرب به داخل آناتولی مرکزی کشیده شده است، قرار دارد. بخش بزرگی از این ناحیه را سنگ‌های آذرین به سن ائوسن تشکیل داده است، که شامل تراکی آندزیت، آندزیت بازالتی، بازالت، تفریت و گاهی آنالسیم تفریت است (شکل ۲).

هرچند تغییرات ژئوشیمیایی رخ داده در تشکیل آنالسیم‌های ثانویه در سنگ‌های قلیانی به طور کامل روشن نشده‌اند، ولی بررسی‌های آزمایشگاهی روی بلورهای آنالسیم و یا بررسی سیستم دگرسانی لوسيت- آنالسیم بهمنظور مشخص کردن خاستگاه ماقمایی اولیه و یا گرمابی ثانویه بلورهای آنالسیم انجام می‌گیرد [۱۱ - ۱۷]. آنالسیم‌ها را براساس محیط تشکیل آن‌ها به ۵ نوع رده بندی کردۀ‌اند [۲] که شامل: نوع P (آنالسیم‌های متببور شده‌اند)، نوع S (آنالسیم تشکیل شده در سیلیکاتی متببور شده‌اند)، نوع H (آنالسیم‌های ناشی از فرآیندهای گرمابی)، نوع M (آنالسیم تشکیل شده در دنباله‌های دگرگونی خفیف) و نوع L (آنالسیم‌های حاصل از جایگزینی یونی در کانی لوسيت و احتمالاً دیگر فلدسپاتوئنیدهای سنگ‌های آذرین). مناطقی از ایران که بلور آنالسیم در آن‌ها مشاهده و گزارش شده است شامل: آنالسیم‌های ناحیه کوههای طلاقان (منطقه جوستان) البرز مرکزی [۱۸] به سن ائوسن پایانی، آنالسیم درون تفریت‌ها به سن کرتاسه فوقانی واقع در شمال خاوری آذربایجان رشته کوههای صلووات [۱۹]، آنالسیم‌های رشته کوههای بزقوش جنوب سراب به سن ائوسن میانی و درون سنگ‌های بازانیت و موژه آریت [۲۱، ۲۰]، فنوکریست‌های آنالسیم در تراکی



شکل ۱ موقعیت منطقه‌ی مورد بررسی در نقشه تقسیمات ساختاری ایران [۲۸].



شکل ۲ نقشه‌ی زمین‌شناسی ساده شده منطقه‌ی مورد بررسی برگرفته از [۲۶].

[۳۱]، محاسبه و برای محاسبات از برنامه‌های کامپیووتری Excel و Minpet 2.0 استفاده شد.

زمین‌شناسی

زمین‌ریخت‌شناسی منطقه با دو عامل زمین‌شناسی ساختاری و جنس سنگ‌های مختلف کنترل شد. عملکرد گسل‌های متعدد با روند عمومی شمالی-جنوبی و شمال باختری-جنوب خاوری سبب جابجایی‌های قائم و ایجاد پرتگاه‌های گسلی شده است. تنوع سنگ‌شناسی در ریخت‌شناسی منطقه مؤثر بوده است، به‌طوری که برش‌های آتشفسانی با گسترش وسیع و فرسایش‌پذیری بالا، مناطق پست و کم ارتفاع را به وجود آورده‌اند. برش‌هایی که به صورت میان لایه‌ای با گدازه‌های آتشفسانی قرار گرفته‌اند و دستخوش فرسایش کمتری شدند و حالت پله‌ای را در منطقه ایجاد کرده‌اند.

وجود برش‌های آتشفسانی با ترکیب آندزیت بازالتی با سیمان توفی و هیالولکلاستیکی، اولین نشان از فعالیت آتشفسانی در منطقه‌ی مورد بررسی و نیز کهن‌ترین سنگ‌های منطقه را شامل می‌شوند.

در این مقاله، ویژگی‌های کانی‌شناسی، شیمی کانی و ترکیب شیمیایی آنالسیم‌های موجود در سنگ‌های آذرین این منطقه به منظور بررسی وابستگی ژنتیکی این کانی با سنگ‌های مورد بررسی و نیز خاستگاه اولیه یا ثانویه آنالسیم‌ها مورد بررسی قرار گرفته‌اند.

روش بررسی

در این بررسی، ۶۰ قطعه از سنگ‌های حاوی بلورهای آنالسیم که شامل تفریت، فنولیت و آنالسیم تفریت هستند، نمونه برداری انجام گرفت، سپس مقاطع میکروسکوپی سنگ‌های حاوی بلور آنالسیم با میکروسکوپ قطبندی مورد بررسی و سنگنگاری قرار گرفت. نمونه‌های مناسبی نیز برای تجزیه‌ی نقطه‌ای انتخاب شدند و تعداد ۳۹ مورد تجزیه‌ی نقطه‌ای در پژوهشکده‌ی زمین‌شناسی و ژئوفیزیک آکادمی علوم چین، پکن (IGGCAS) با ریزپردازندۀ الکترونی JEOL, JXA-8100 و با ولتاژ ۲۰ kV، شدت جریان ۲۰ nA و قطر نقطه آنالیز ۳ μm ، صورت گرفت. نتایج آنالیز نقطه‌ای در جدول ۱ ارائه شده‌اند. فرمول ساختاری آنالسیم‌ها بر اساس ۹۶ اکسیژن

جدول ۱ نتایج آنالیز ریزپردازش الکترونی، کانی، آنالسیم و فرمول ساختاری آن‌ها بر اساس ۹۶ اکسیژن [۳۱].

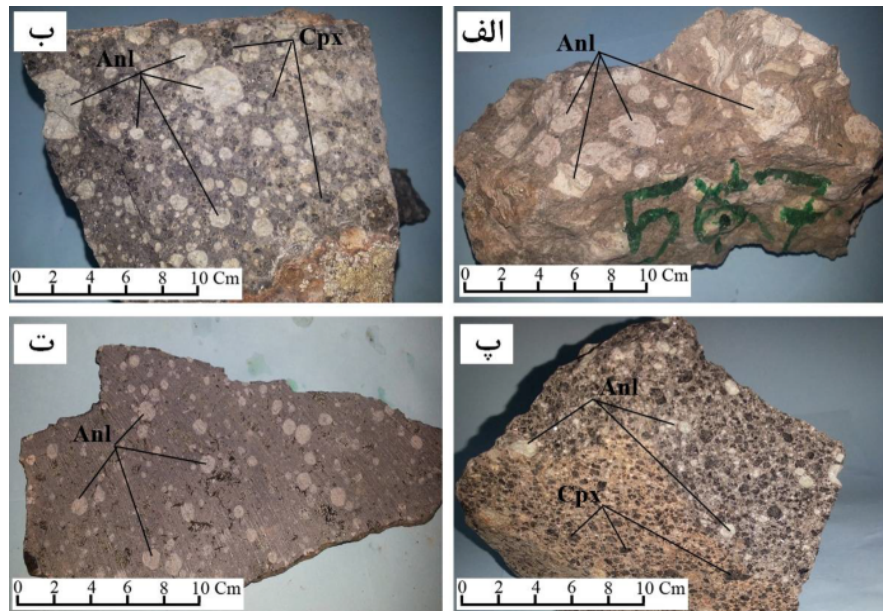
Sample No	9	10	13	81	83	84	89	90	170	171	172	173	174	175	176	188	189	191	541
SiO ₂	52.30	51.77	44.65	52.50	51.65	52.47	52.53	51.81	52.48	52.54	52.9	52.28	52.68	52.79	52.50	51.87	52.48	50.53	
TiO ₂	7.00	7.02	7.4	7.01	7.00	7.07	7.02	7.03	7.02	7.03	7.04	7.02	7.02	7.03	7.02	7.04	7.00	7.04	
Al ₂ O ₃	25.05	24.60	21.4	25.05	27.29	26.91	24.97	28.74	25.12	24.81	24.59	24.62	24.65	25.62	24.66	25.19	25.73	24.91	
Cr ₂ O ₃	7.04	7.01	7.01	7.00	7.00	7.01	7.00	7.04	7.01	7.01	7.00	7.02	7.01	7.03	7.02	7.02	7.00	7.04	
FeO	7.12	7.07	7.25	7.42	7.09	7.20	7.51	7.29	7.34	7.28	7.33	7.19	7.44	7.36	7.28	7.21	7.20	7.37	
Fe ₂ O ₃	7.13	7.08	7.87	7.46	7.10	7.22	7.19	7.22	7.28	7.29	7.36	7.43	7.49	7.40	7.42	7.23	7.41	7.41	
MnO	7.00	7.00	7.05	7.00	7.00	7.01	7.00	7.02	7.01	7.02	7.00	7.03	7.00	7.03	7.00	7.01	7.00	7.00	
MgO	7.02	7.11	6.65	7.00	7.02	7.09	7.20	7.08	7.00	7.02	7.05	7.02	7.03	7.02	7.01	7.05	7.01	7.00	
CaO	7.83	7.28	7.63	7.08	7.09	7.35	7.80	7.17	7.48	7.35	7.01	7.08	7.48	7.24	7.05	7.66	7.15	7.15	
Na ₂ O	11.44	12.32	5.68	8.41	10.5	10.98	9.6	8.10	9.54	10.48	8.72	8.04	8.85	10.26	8.44	11.94	10.46	10.21	
K ₂ O	7.78	7.9	7.7	7.26	7.45	7.16	7.87	7.69	7.88	7.87	7.94	7.94	7.94	7.94	7.94	7.76	7.44	7.05	
Total	90.37	89.27	91.06	88.82	91.68	91.87	93.24	87.74	90.89	91.30	89.39	89.76	91.1	91.42	89.30	90.52	86.07	89.71	
Formula on the basis of 96(O)																			
Si	21.12	21.14	22.08	21.78	20.34	20.75	21.99	22.41	21.88	21.87	22.11	22.22	21.11	22.92	20.85	20.37	21.72	22.33	
Ti	7.00	7.01	7.02	7.03	7.00	7.03	7.01	7.01	7.01	7.02	7.00	7.01	7.01	7.02	7.00	7.00	7.02	7.00	
Al	17.57	17.44	22.19	17.9	18.89	18.24	16.05	20.46	17.33	17.9	17.21	17.17	17.6	17.73	17.7	17.69	18.85	17.42	
Cr	7.02	7.01	7.00	7.00	7.01	7.00	7.02	7.00	7.01	7.00	7.00	7.01	7.00	7.01	7.00	7.00	7.00	7.00	
Fe ²⁺	7.06	7.03	6.83	7.21	7.04	7.1	7.23	7.15	7.17	7.13	7.18	7.19	7.22	7.18	7.19	7.11	7.16	7.16	
Mn	7.00	7.00	7.03	7.00	7.00	7.00	7.00	7.01	7.01	7.01	7.00	7.02	7.00	7.00	7.01	7.00	7.00	7.00	
Mg	7.02	7.10	6.59	7.00	7.01	7.08	7.17	7.07	7.00	7.02	7.04	7.02	7.03	7.02	7.01	7.05	7.01	7.00	
Ca	7.40	7.18	7.36	7.37	7.37	7.22	7.50	7.77	7.30	7.22	7.33	7.30	7.78	7.31	7.42	7.10	7.29	7.08	
Na	12.70	14.72	6.68	9.69	11.96	12.46	10.14	9.61	10.82	11.83	10.3	9.80	10.11	11.69	7.34	13.79	12.61	11.74	
K	7.59	7.07	7.15	7.20	7.15	7.12	7.25	7.32	7.66	7.61	7.61	7.67	7.66	7.67	7.35	7.02	7.33	7.03	
Total	92.98	93.35	92.72	90.18	92.77	92.87	91.45	91.82	91.12	91.79	90.7	90.85	92.19	98.54	93.35	92.91	91.6	95.85	
Na(Na+K+Ca)	7.93	7.98	7.05	7.94	7.89	7.91	7.91	7.85	7.82	7.82	7.90	7.91	7.88	7.95	7.93	7.95	7.97	7.97	
Na(Na+Ca)	7.97	7.99	7.74	7.98	7.97	7.98	7.95	7.95	7.97	7.98	7.97	7.96	7.97	7.97	7.96	7.98	7.98	7.98	
Si/Al	1.77	1.79	1.22	1.78	1.61	1.69	1.93	1.44	1.84	1.86	1.87	1.87	1.89	1.75	1.93	1.74	1.61	1.82	
K/Na	7.04	7.00	7.47	7.02	7.10	7.08	7.13	7.14	7.06	7.05	7.08	7.07	7.09	7.03	7.06	7.03	7.01	7.01	
Sample No.	542	543	544	541	542	543	545	546	547	1-1	1-2	1-3	111	121	131	141	151	221	241
SiO ₂	93.18	91.32	92.41	92.07	92.22	90.86	92.40	92.03	91.82	89.21	91.3	91.80	96.3	98.76	85.91	91.32	57.4	91.25	91.17
TiO ₂	7.05	7.02	7.04	7.03	7.01	7.03	7.04	7.03	7.05	7.03	7.05	7.07	7.00	7.02	7.03	7.05	7.03	7.03	7.03
Al ₂ O ₃	28.97	27.21	28.22	25.77	26.21	24.83	27.16	26.9	26.7	25.46	24.73	26.87	25.9	25.61	24.5	28.00	28.16	26.46	25.97
Cr ₂ O ₃	7.01	7.01	7.00	7.00	7.00	7.00	7.00	7.00	7.00	7.00	7.00	7.00	7.00	7.00	7.00	7.00	7.00	7.00	
FeO	7.45	7.40	7.41	7.23	7.08	7.11	7.25	7.28	7.12	7.18	7.21	7.42	7.30	7.43	7.27	7.19	7.49	7.11	7.46
Fe ₂ O ₃	7.05	7.44	7.46	7.20	7.48	7.12	7.39	7.28	7.13	7.20	7.23	7.47	7.33	7.48	7.30	7.21	7.54	7.12	7.45
MnO	7.00	7.01	7.01	7.00	7.01	7.00	7.00	7.00	7.00	7.01	7.00	7.00	7.00	7.00	7.00	7.00	7.00	7.00	7.00
MgO	7.02	7.01	7.01	7.00	7.03	7.01	7.02	7.00	7.00	7.09	7.00	7.00	7.01	7.02	7.00	7.01	7.05	7.01	7.00
CaO	7.10	7.09	7.19	7.05	7.15	7.16	7.17	7.10	7.07	7.18	7.11	7.11	7.11	7.16	7.16	7.19	7.17	7.07	7.07
Na ₂ O	9.45	10.71	8.96	8.85	11.24	11.57	11.14	12.1	10.54	7.65	7.26	7.41	7.81	6.92	7.12	7.05	6.76	11.28	10.91
K ₂ O	7.12	7.13	7.05	7.04	7.14	7.08	7.11	7.08	7.04	7.08	7.03	7.18	7.13	7.07	7.17	7.09	7.02	7.06	7.04
Total	100.9	99.97	101.4	97.74	100.1	97.45	101.3	100.5	97.70	101.0	99.86	99.81	100.5	100.1	98.21	100.8	100.9	100.8	99.77
Formula on the basis of 96(O)																			
Si	22.08	22.40	22.69	22.41	22.85	22.94	22.57	22.88	22.76	24.43	22.70	24.68	22.14	24.4	22.40	22.62	22.37	22.57	21.87
Ti	7.02	7.01	7.02	7.01	7.00	7.01	7.02	7.01	7.01	7.02	7.00	7.02	7.01	7.02	7.01	7.02	7.01	7.02	7.01
Al	16.49	16.97	17.21	16.22	16.27	15.89	16.81	16.2	16.55	15.35	15.9	16.7	15.77	15.55	15.21	15.66	15.77	16.84	16.12
Cr	7.00	7.00	7.00	7.00	7.00	7.00	7.00	7.00	7.00	7.00	7.00	7.00	7.00	7.00	7.00	7.00	7.00	7.00	7.00
Fe ²⁺	7.20	7.18	7.18	7.10	7.25	7.05	7.15	7.01	7.05	7.08	7.09	7.18	7.13	7.19	7.12	7.18	7.05	7.05	7.02
Mn	7.00	7.00	7.00	7.00	7.00	7.00	7.00	7.00	7.00	7.00	7.00	7.00	7.00	7.00	7.00	7.00	7.00	7.00	7.00
Mg	7.02	7.01	7.01	7.00	7.01	7.01	7.02	7.00	7.00	7.07	7.00	7.00	7.01	7.02	7.01	7.00	7.04	7.02	7.03
Ca	7.08	7.05	7.10	7.14	7.08	7.09	7.07	7.06	7.03	7.15	7.17	7.13	7.15	7.15	7.15	7.15	7.05	7.08	7.08
Na	9.50	10.97	8.96	9.16	11.44	12.18	11.26	12.27	11.1	7.59	7.29	7.47	7.40	6.91	7.25	8.98	6.70	11.58	11.14
K	7.08	7.09	7.03	7.06	7.09	7.07	7.05	7.03	7.02	7.04	7.01	7.02	7.01	7.05	7.05	7.05	7.02	7.05	7.01
Total	57.44	60.85	59.19	59.7	60.98	61.22	60.79	61.37	60.46	57.69	57.48	55.81	57.73	57.42	57.28	57.21	57.21	61.26	61.09
Na(Na+K+Ca)	7.99	7.99	7.98	7.98	7.98	7.99	7.99	7.99	7.99	7.98	7.98	7.96	7.97	7.98	7.97	7.98	7.97	7.97	7.97
Na(Na+Ca)	7.99	1.00	0.99	0.98	0.99	0.99	0.99	1.00	1.00	0.98	0.98	0.98	0.97	0.98	0.98	0.98	0.98	0.98	0.98
Si/Al	2.01	1.91	1.9	2.0	2.01	2.0	1.95	2.02	1.98	2.24	2.30	2.16	2.17	2.21	2.28	2.20	2.17	1.96	1.82
K/Na	7.01	7.01	7.00	7.00	7.01	7.01	7.00	7.00	7.00	7.01	7.00	7.01	7.01	7.01	7.01	7.01	7.02	7.03	7.03

در سطح زمین نشان می‌دهند.

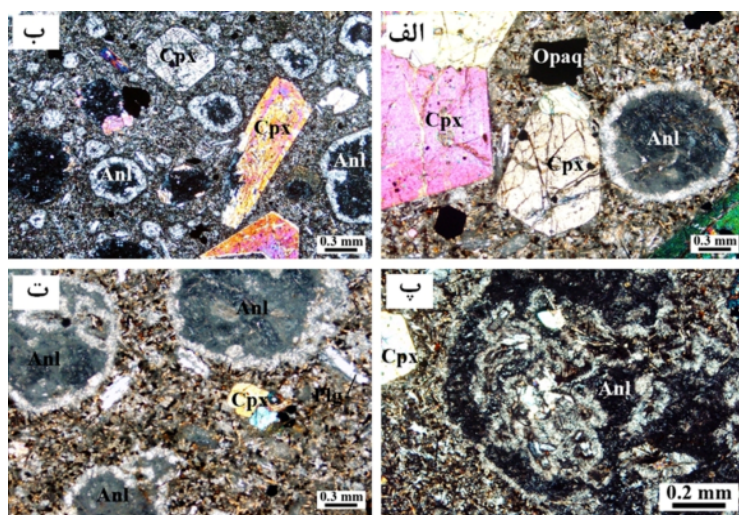
سنگ‌نگاری

سنگ‌های تفریتی در نمونه‌ی دستی به رنگ خاکستری تیره بوده و بلورهای پیروکسن، پلاژیوکلاز و آنالسیم درشت بلور در آنها به خوبی قابل تشخیص‌اند. رنگ بلورهای آنالسیم در نمونه‌های ماکروسکوپی سفید، کرم، زرد کم رنگ و سرخ گوشته است (شکل^۳). سنگ‌های مورد بررسی اغلب بافت پورفیری با خمیره‌ی ریزبلوری و گاهی ریزبلور شیشه‌ای دارند. مقدار خمیره‌ی شیشه‌ای در آن‌ها متغیر است، گاهی انباست خوش‌های فنوکریست‌های پیروکسن موجب شکل‌گیری بافت خوش‌های در سنگ شده است. تمام سنگ‌های آنالسیم‌دار دارای سه نوع فنوکریست پیروکسن، پلاژیوکلاز و آنالسیم هستند (شکل^۴). پیروکسن‌ها عموماً شکل‌دار تا نیمه شکل‌دار بوده و اندازه آن‌ها از ۰/۲ تا ۲ میلیمتر متغیر است. فراوانی فنوکریست‌های پیروکسن تا ۱۲ درصد می‌رسد. پیروکسن‌ها در اغلب موارد دارای ساخت ساعت شنی هستند. ماکل ساده و ماکل‌های تداخلی که در آن چند بلور شرکت دارند در این کانی‌ها متداول است.

این واحد در بعضی نقاط ویژگی آتشفسان‌های زیردریایی را نشان می‌دهد که قطر قطعات آن از ۵ تا ۲۰ سانتیمتر متغیر بوده است. دایک‌های آندزیت بازالتی و گاهی تفریتی که احتمالاً دایک‌های تغذیه کننده فعالیت‌های بعدی هستند به فراوانی برش‌های آتشفسانی را قطع کرده‌اند [۳۲]. تداوم فعالیت‌های آتشفسانی در منطقه با رخمنون سنگ‌های آتشفسانی زیردریایی آندزیت بازالتی با ریخت بالشی ادامه دارد که قطر آن‌ها تا ۵ متر می‌رسد. این واحد در بعضی نقاط به طور کامل برش‌های آتشفسانی در منطقه بازالتی را پوشانیده است. سنگ‌های آنالسیم‌دار منطقه از سه بخش قابل تفکیک، تشکیل شده‌اند که شامل: سنگ‌های آندزیت بازالتی که به تناب همراه با گدازه‌های آندزیتی و برش‌های آتشفسانی در بخش پایین قرار گرفته‌اند، گدازه‌های آنالسیم‌دار و برش‌های آنالسیم‌دار در بخش میانی و برش‌های آنالسیم‌دار با سیمان هیالولکلاستیک در بخش بالایی روی واحدهای رسوبی را می‌پوشانند. ریخت صخره‌ای این واحد نشانگر سختی زیاد و مقاومت آن نسبت به فرسایش بوده و ترکیب آن از تفریت تا آنالسیم تفریت (حاوی بیش از ۵۰ درصد آنالسیم) تغییر می‌کند. سنگ‌های بیرونی با ترکیب آندزیتی و بازالتی عموماً حالت صخره‌ای و پرتگاهی را



شکل ۳ تصاویر ماکروسکوپی سنگ‌های حاوی آنالسیم. (الف) بلورهای شکل‌دار تا نیمه شکل‌دار آنالسیم به اندازه ۲ تا ۳ سانتیمتر در سنگ تراکی آندزیت فوئیدار با بافت پورفیری، (ب) بلورهای آنالسیم ایزومتریک و شکل‌دار به اندازه ۱ تا ۲ سانتیمتر در سنگ تفریت با زمینه‌ی ریز بلور، (پ) بلورهای شکل‌دار و نیمه شکل‌دار آنالسیم و پیروکسن در سنگ آندزیت فوئیدار، (ت) بلورهای آنالسیم به اندازه ۵ میلیمتر تا ۱ سانتی‌متر در سنگ تفریت.

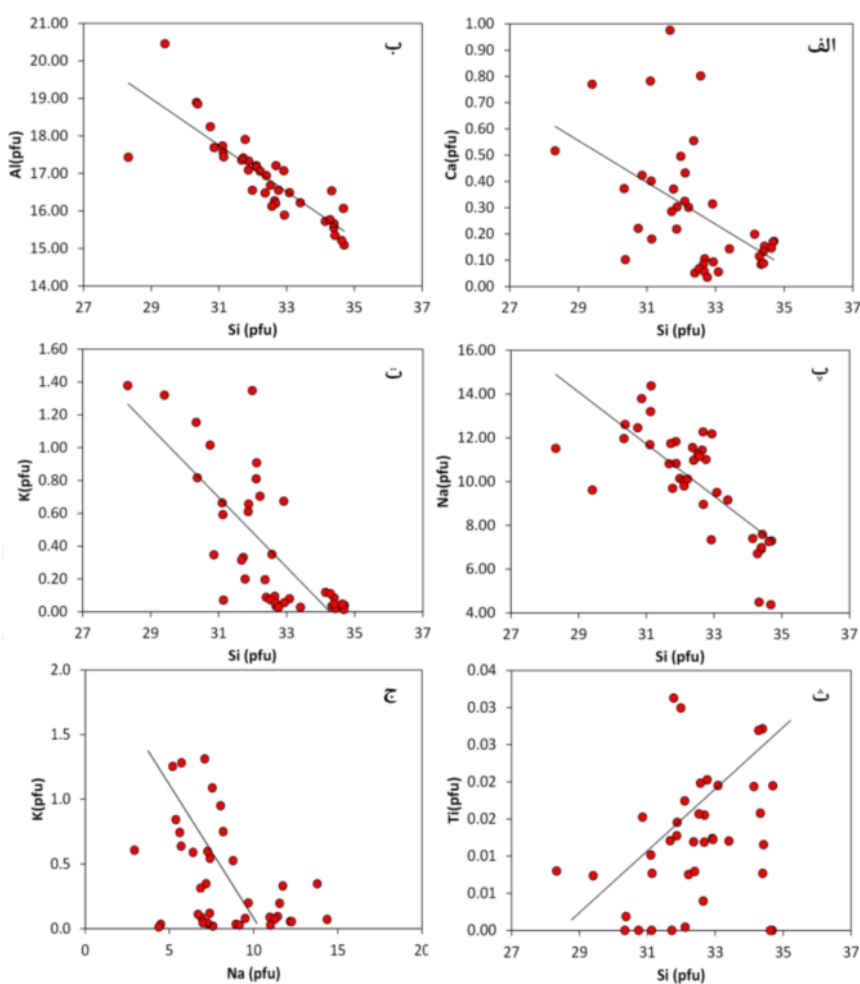


شکل ۴ تصاویر میکروسکوپی بلورهای آنالسیم در نور قطبینده متقاطع (XPL) (الف) بلورهای کانی آنالسیم با بافت حاشیه‌ای، کلینوپیروکسن و کانی‌های کدر در سنگ پیروکسن آندزیت فوئیدار با بافت پورفیری و خمیره ریز دانه، ب) بلورهای آنالسیم درشت بلور و ریز بلور در سنگ تفریت، پ و ت) بلورهای درشت آنالسیم که در حاشیه‌ی آن‌ها آثار کانی لوسیت مشاهده می‌شوند.

مبانی ۹۶ اکسیژن محاسبه شده است (جدول ۱). ترکیب شیمیایی آنالسیم‌های مورد بررسی در گستره‌های SiO_2 (44.61-56.05), TiO_2 (0.00-0.93), Al_2O_3 (23.29-31.04), Cr_2O_3 (0.00-0.04), $\text{FeO}^{(\text{t})}$ (0.07-9.28), MnO (0.00-0.07), MgO (0.00-0.65), CaO (0.15-3.630), Na_2O (5.68-12.32), K_2O (0.09-4.070) تغییر می‌کند. تغییرات ترکیب شیمیایی آنالسیم به صورت $\text{Al}, \text{Ca}, \text{K}, \text{Na}, \text{Si}$ (apfu) نسبت به سایر کاتیون‌ها مانند Ti در شکل ۵ نشان داده شده‌اند. چنان‌که در شکل ۵ دیده می‌شود، با کاهش مقدار Si مقدار Al افزایش می‌یابد که نشان دهنده‌ی جانشینی Al در ساختار آنالسیم است. همچنین با افزایش مقدار Si مقدار K داده شده‌اند. از Na کاهش می‌یابد که احتمالاً نشان دهنده جانشینی Na به جای K در ساختار آنالسیم است. در شکل ۵ ج نمودار Na به K روند منفی بین سدیم و پتاسیم را نشان می‌دهد که با افزایش سدیم، مقدار پتاسیم کاهش می‌یابد و می‌تواند نشان دهنده‌ی جانشینی سدیم به جای پتاسیم باشد. از طرف دیگر مقدار نسبت Si/Al در آنالسیم‌های مورد بررسی بین ۱.22-۲.29 تغییر می‌کند. از آنجا که بین آنالسیم و ویراکیت با جانشینی Ca به Na و بر عکس، سری محلول کامل جامد وجود دارد. با توجه به نسبت $\text{Na}/(\text{Na}+\text{Ca})$ در نمونه‌ها که بین ۰.74-۰.99 تغییر می‌کند، نشان دهنده جانشینی مختصر Ca به Na در ساختار آنالسیم است.

بر اساس بررسی‌های سنگنگاری، پیروکسن‌ها دارای میانبارهایی از کانی آپاتیت و کانی‌های کدر هستند. همچنین خود پیروکسن‌ها به صورت میانبار در پلازیوکلازها و درشت بلورهای آنالسیم مشاهده می‌شوند. کانی پلازیوکلاز اغلب به صورت نیمه‌شکل‌دار در این سنگ‌ها حضور دارد و حاشیه‌ی آن‌ها خردشده و بافت غربالی نشان می‌دهند. بعضی از پلازیوکلازها دستخوش تجزیه شدیدی شده‌اند و اغلب حاوی میانبارهایی از پیروکسن، آپاتیت و کانی‌های کدر هستند. در کانی آنالسیم آثار تجزیه به کانی‌های رسی، سریسیت و کانی‌های کدر دیده می‌شود. آنالسیم‌ها اغلب حاوی میانبارهایی از کانی‌های پلازیوکلاز و پیروکسن هستند (شکل ۴). در این گروه سنگی خمیره اغلب شامل بلورهای ریزبلور و ریزدانه پلازیوکلاز و شکل‌های کاذب لوسیت (آنالسیم) هستند و ریزبلورهای پلازیوکلاز به صورت میانبارهایی به موازات حاشیه بلورهای آنالسیم دیده می‌شوند (شکل ۴). فنوکریست‌های شکل‌دار آنالسیم اغلب حاوی میانبارهایی از کانی‌های پلازیوکلاز و پیروکسن هستند که به‌ویژه پلازیوکلازهای آن به موازات حاشیه‌ی بلور به صورت جهت یافته دیده می‌شوند. فراوانی کانی‌های فوئیدی در این گروه از ۶۰ درصد در آنالسیم تفریت تا حدود ۱۰٪ در تفریت‌ها تغییر می‌کند (شکل ۴).

ترکیب شیمیایی آنالسیم
فرمول ساختاری کانی آنالسیم براساس توصیه‌ی [۳۱]، بر



شکل ۵ الف) نمودار Si نسبت به Ca، ب) نمودار Si نسبت به Al، ج) نمودار Si نسبت به Na، د) نمودار Si نسبت به K، ه) نمودار Si نسبت به Ti، ز) نمودار Na نسبت به K.

توسط [۳۲] ارائه شده است (شکل ۷ ب)، نمونه‌های مورد بررسی در گستره Anl (آنالسیم) قرار می‌گیرند.

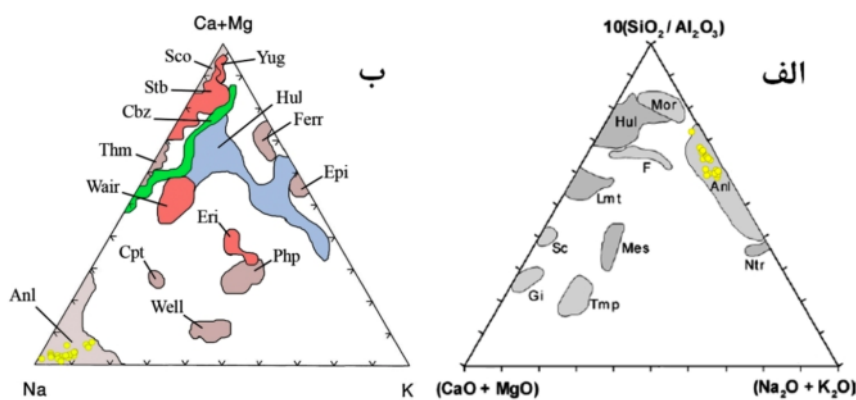
بحث و بررسی

بلورهای آنالسیم بیشتر نمونه‌ها و سنگ‌های مورد بررسی شکل‌های تبلوری مشابهی دارند. آن‌ها عموماً به صورت فنوکریست‌های درشت بلور با ابعاد ۱ تا ۳ سانتی‌متر گرد به رنگ شیری و خاکستری هستند که مشابه آنالسیم‌های کاذب تغییر شکل یافته از لوسیت هستند [۳۵، ۳۶]. بلورهای آنالسیم شش‌گوش در زمینه‌ی سنگ‌ها مشاهده می‌شوند (شکل‌های ۳ و ۴). اکثر آن‌ها خصوصیات ایزوتروپیک یا همسانگردی از خود نشان می‌دهند (شکل ۴) ولی برخی از آن‌ها ویژگی دوشکستی (بیرفرنژانس) ضعیفی دارند که ناشی از دگرسانی آن‌ها به کانی‌های رسی است.

معمولًاً آنالسیم‌هایی با خاستگاه اولیه دارای نسبت K/Na بالای یک هستند در صورتی که نسبت K/Na در آنالسیم‌های مورد بررسی کمتر از ۱ است (0.002-0.47). فرمول عمومی آنالسیم‌های مورد بررسی به صورت زیر است:

$(K_{0.07-3.15}, Na_{6.68-14.37}, Ca_{0.10-2.36})Al_{16.55-22.19}Si_{27.08-32.92}O_{96}.nH_2O$

نسبت‌های $K/(Na + K + Ca)$ بین ۰.۵۴ - ۰.۹۹ و نسبت $Ca/(Na + K + Ca)$ بین ۰.۰۰۲ - ۰.۲۵ و نسبت $K/(Na + K + Ca)$ بین ۰.۱۹ - ۰.۰۰۳ درصد در نمونه‌های مورد بررسی تغییر می‌کند. برای مشخص کردن ترکیب آنالسیم‌ها از نمودار مثلثی کانی‌های زئولیتی $Ca + Mg - Na - K$ استفاده می‌شود [۳۳]. که نمونه‌ها در گستره و قطب سدیم دار قرار می‌گیرند (شکل ۶ الف). همچنین در نمودار مثلثی $10(SiO_2/Al_2O_3) - (CaO + MgO) - (Na_2O + K_2O)$ که



شکل ۶ الف) موقعیت نمونه‌های آنالسیم روی نمودار مثلثی $10(\text{SiO}_2/\text{Al}_2\text{O}_3)-(\text{CaO}+\text{MgO})-(\text{Na}_2\text{O}+\text{K}_2\text{O})$ که در گستره‌ی آنالسیم قرار می‌گیرند. گستره‌ی کانی‌های زئولیتی برگرفته از [۳۳] است. ب) موقعیت آنالسیم‌های منطقه مورد بررسی در نمودار مثلثی $(\text{Ca} + \text{Mg}) - \text{Na} - \text{K}$ ارائه شده توسط [۳۳] و علاوه بر این کار رفته بر اساس [۳۴] است.

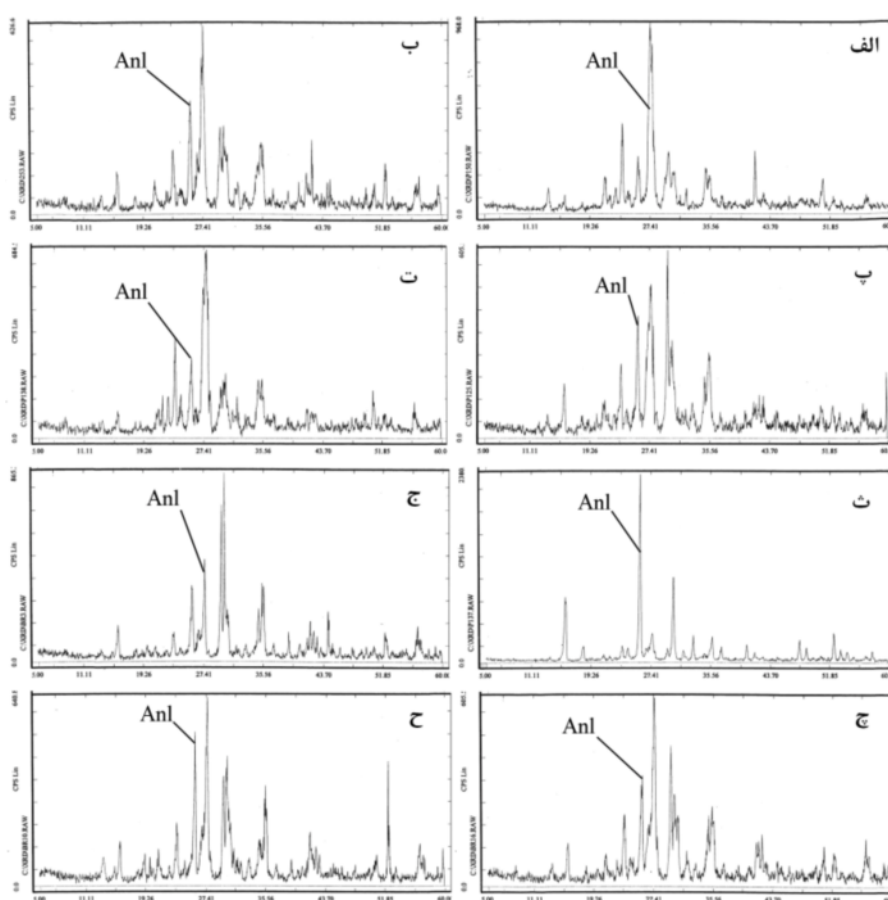
(Hul:Heulandite, Lmt:Laumontite, Ntr:Natrolite,Tmp:Thomsonite, Mor:Mordenite, F:Faujasite, Mes:Mesolite, Sc:Scolecite Gi:Gismondine Anl:Analcime, Wair:Wairakite, Thm:Thamsonite, Cbz:Chabazite, Stb:Stebelite, Sco:Scolecite, Yug:Yugawaralite, Ferr:Ferrierite, Epi:Epistilbite, Well:Wellsite, Cpt:Clinopitolite, Eri:Erionite)

آلومینیوم و سیلیس است و موجب کوتاه شدن واحد سلولی می‌شود. برای محاسبه‌ی اندازه λ (a_0) از قانون برآگ بنابر رابطه $\lambda = 2dsin\theta$ استفاده می‌شود؛ که در آن λ طول موج حاصل از نوع کاتد مورد استفاده در پراش سنج پرتو ایکس است (در این بررسی از کاتد مس و فیلتر نیکل استفاده شد) (در این بررسی از $\lambda_{ka} = 1.54\text{\AA}$ ، θ زاویه‌ی برآگ یا زاویه‌ی برخورد پرتو ایکس با سطح اتمها است که با نمودار XRD حاصل از پراش قبل محاسبه است (شکل ۷) و مقدار d فاصله‌ی بین دو اتم در شبکه‌ی بلور است. نتایج حاصل از محاسبه (a_0) و مقادیر کسر مولی $X\text{Si}$ در جدول ۲ آورده شده است. اندازه (a_0) در سیستم تبلوری مکعبی تقریباً برابر بوده و تغییرات زیادی نشان نمی‌دهد. مقدار (a_0) در نمونه‌های مورد بررسی بین ۱۳۷۰۴ تا ۱۳۷۳۶ نانومتر تغییر می‌کند.

برای بررسی نوع آنالسیم‌های اولیه یا ثانویه اولین بار توسط [۲] نمودار (a_0) بر حسب انگستروم در برابر کسر مولی سیلیس (شکل ۸) استفاده شد. در این نمودار نمونه‌های مورد بررسی در مجاورت و در گستره‌ی آنالسیم‌هایی با خاستگاه ثانویه قرار می‌گیرند. مقدار (\AA) در آنالسیم‌های مکعبی معمولاً یکسان است و تغییر بسیار اندکی دارد ولی در نمونه‌های مورد بررسی تغییرات زیاد است که این تغییرات زیاد نشان دهنده‌ی تغییر در فاصله‌ی بین اتم‌های آنالسیم است که وجود فرم چارگوشی (تتراتاگونال) یا فرم بلوری غیر از مکعبی را در آن‌ها مشخص می‌کند.

ارتباط بافتی آنالسیم‌ها با بلورهای کلینوپیروکسن به عنوان یکی از روش‌های تشخیص اولیه و یا ثانویه بودن بلورهای آنالسیم است [۱۷]. معمولاً بلورهای آنالسیم که به صورت میانبار در کلینوپیروکسن‌ها هستند و در نتیجه‌ی تبدیل شدن کانی لوسيت به آنالسیم به علت افزایش حجم تا حدود ۱۰ درصد، باعث ترک‌ها و شکستگی در اطراف خود می‌شوند [۱۷، ۳۶]. چنین ترک‌هایی در برخی از نمونه‌های مورد بررسی که دارای میانبارهایی از کانی لوسيت هستند نیز قابل مشاهده‌اند (شکل ۴). بلورهای آنالسیم در تمام سنگ‌های مورد بررسی با مجموعه کانی‌های بی‌آب مثل کلینوپیروکسن و پلازیوکلاز همراه هستند و کانی‌های آبدار مثل آمفیبول با آن‌ها همراه نیستند که این می‌تواند دلیلی برای آب بودن ماقمای مادر آن‌ها باشد که آب کافی برای تبلور کانی آبداری مثل آنالسیم به صورت اولیه وجود نداشته است. از طرف دیگر وجود کانی‌های فرومیزین، کدر و کانی‌های کربناتی و نیز آثار خوردگی در حاشیه‌ی کانی‌های پیروکسن و پلازیوکلاز می‌تواند نشان دهنده‌ی تاثیر یک سیستم واکنشی ثانویه تا خیری باشد که در دمای حدود ۱۵۰ درجه‌ی سانتیگراد و فشار فاز سیال بالا، بلورهای لوسيت به آنالسیم تبدیل شده باشند.

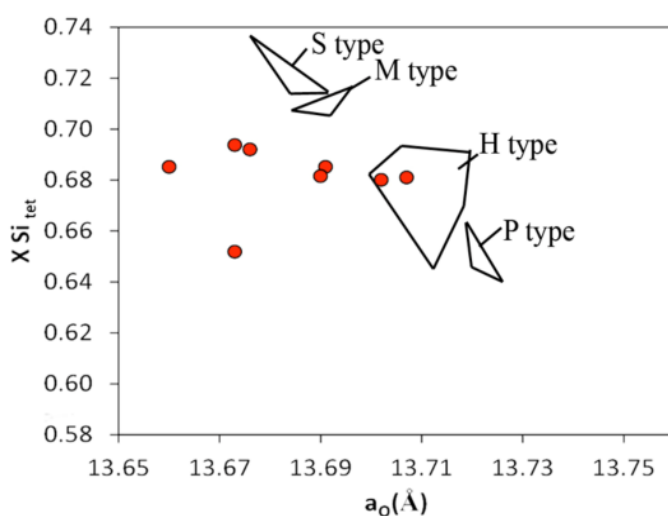
بررسی‌های [۳۷، ۳۸] نشان داد که با افزایش مقدار سیلیس در جریان جانشینی مقدار عددی واحد سلولی شبکه مکعبی (a_0) (cubic cell constant) کاهش می‌باید، زیرا انرژی پیوندی بین سیلیس و اکسیژن قوی‌تر از انرژی پیوندی بین



شکل ۷ نمودارهای پرتو ایکس نمونه‌های دارای کانی آنالسیم که برای محاسبه مقادیر واحد سلوی استفاده شده‌اند.

جدول ۲ نتایج محاسبه مقدار واحد سلوی و کسر مولی سیلیس در نمونه‌های مورد بررسی

شماره نمونه	102	103	111	121	131	141	151	221
X Si	.۶۹۳۶۷۱	.۶۸۰۹۵	.۶۸۰۰۴	.۶۸۵۱۲۴	.۶۹۱۹۴۴	.۶۸۵۱۰۷	.۶۸۱۵۴۷	.۶۵۱۸۱۵
$a_0(\text{\AA})$	۱۳.۶۷۳	۱۳.۷۰۷	۱۳.۷۰۲	۱۳.۶۹۱	۱۳.۶۷۶	۱۳.۶۶	۱۳.۶۹	۱۳.۶۷۳



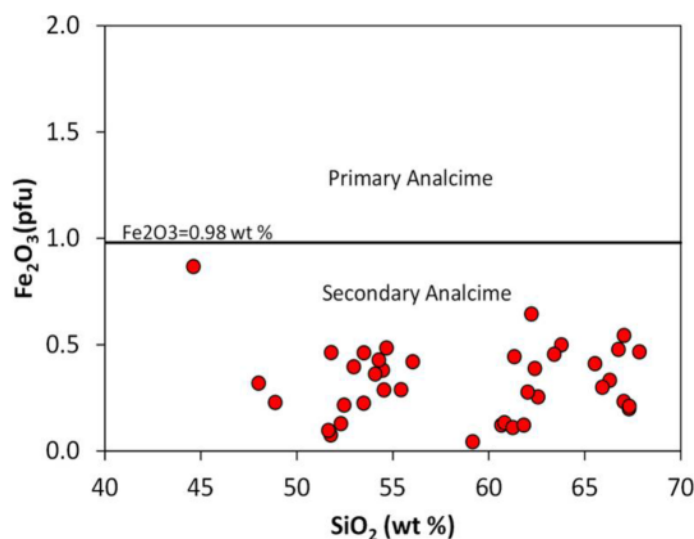
شکل ۸ نمودار (a_0 \AA) نسبت به کسر مولی X Si و موقعیت قرار گیری انواع آنالسیم‌های اولیه و ثانویه برگرفته از [۲].

بررسی‌های انجام شده توسط [۲] نشان می‌دهد که در تبدیل لوسیت به آنالسیم (بویژه نوع L) $\text{K}_2\text{O} > 1\%$ است. [۳۸,۳۷] نشان دادند که با افزایش مقدار Si در آنالسیم‌ها، مقدار عددی (Å) a کاهش می‌یابد، که به علت کوتاه شدن فاصله بدلیل انرژی پیوندی قویتر Si است. مقدار عددی واحد سلولی (Å) a می‌تواند با نسبت Si/Al ارتباط داشته باشد [۴۹,۳۷]، لذا آنالسیم‌های اولیه، مقدار Si کمتری نسبت به سایر آنالسیم‌ها از خود نشان می‌دهند.

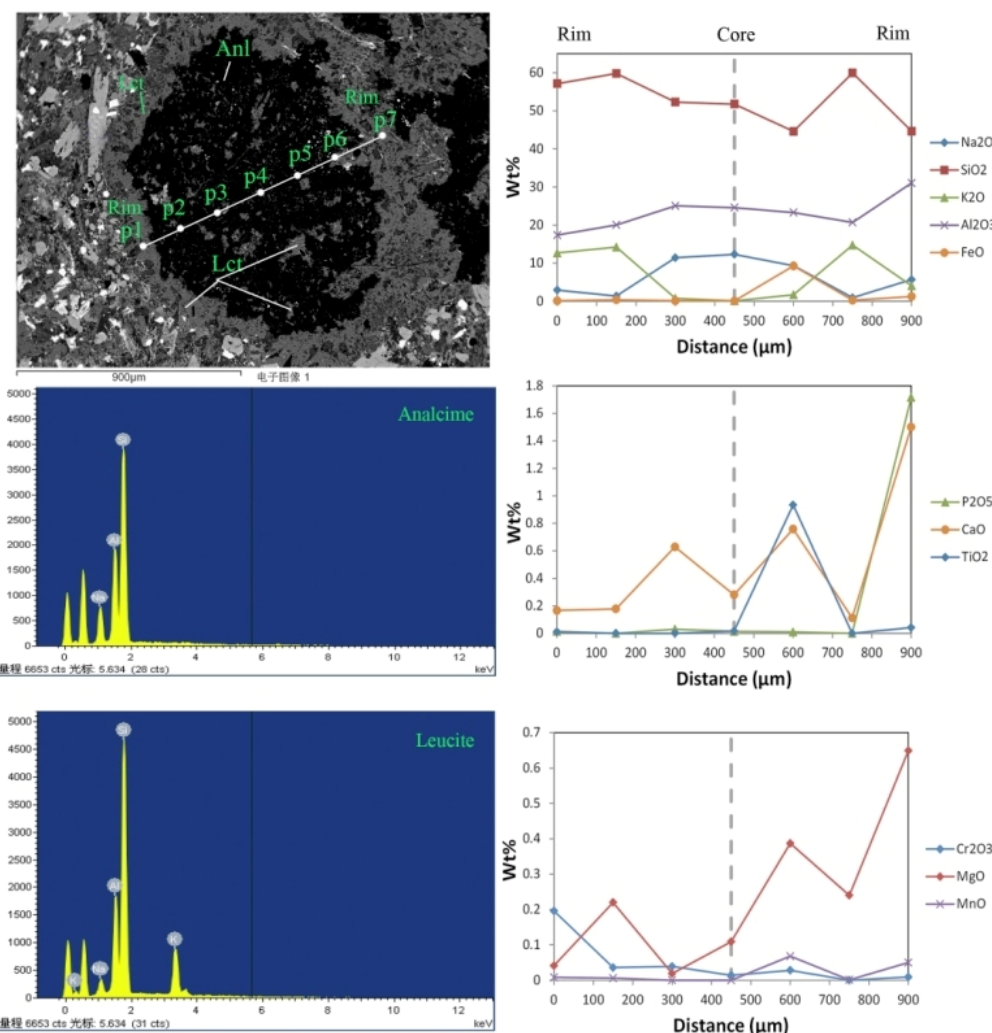
بررسی‌های [۲] نشان می‌دهد که بین مقادیر Fe^{3+} و نوع آنالسیم‌ها ارتباطی وجود دارد. به طوری که مقادیر Fe_2O_3 در آنالسیم‌های اولیه بیشتر از سایر آنالسیم‌ها است (بیش از ۰/۹۸ درصد). مقدار Fe_2O_3 در نمونه‌های مورد بررسی بین ۰/۰۴ تا ۰/۸۷ درصد تغییر می‌کند که می‌تواند نشان دهندهٔ ثانویه بودن آنالسیم‌ها باشد (شکل ۹). یکی از روش‌های بررسی کانی‌های فلذی‌پاتوقی‌بندی به خصوص آنالسیم‌ها برای تعیین اولیه و یا ثانویه بودن آن‌ها، بررسی چگونگی توزیع عنصر از مرکز به حاشیه این بلورهاست. بدین منظور تعدادی از بلورهای آنالسیم برای تهییهٔ نیمرخ خطی، با استفاده از ریزپردازندۀ الکترونی مورد آنالیز نقطه‌ای قرار گرفتند که نتایج آن در شکل ۱۰ نشان داده شده‌اند. چنانکه در شکل دیده می‌شود، بیشتر آنالسیم‌ها در مرکز غنی از Na هستند و در حاشیه آثاری از لوسیت اولیه با افزایش مقادیر K در آن‌ها دیده می‌شوند.

که می‌تواند ناشی از جانشینی Na بجای پتاسیم در ساختار لوسیت و تبدیل آن به آنالسیم باشد. بر اساس بررسی‌های کانی‌شناسی نوری انجام گرفته توسط [۴۰,۳۹]، بررسی‌های ساختار لوسیت و آنالسیم توسط [۴۳-۴۱] و بررسی‌های شیمی کانی که توسط [۴۵,۴۴] انجام شده است، نشان می‌دهند که بلورهای آنالسیم با ساختار مکعبی در مقایسه با ساختارهای چارگوشی و راستگوشی (ارتورومبیک) و تک میل (مونوکلینیک) تقارن کمتری را نسبت به جانشینی آلومینیوم در جایگاه چاروجهی و آرایش Na, Ca در جایگاه کاتیونی اضافی در شبکهٔ بلوری از خود نشان می‌دهند [۴۶]. معمولاً بلورهای لوسیت اولیه در دماهای بین ۷۰۰-۶۰۰ درجه‌ی سانتیگراد با کاهش تقارن به شکل بلوری چارگوشی تبدیل می‌شوند [۴۷].

بررسی‌های انجام شده توسط [۴۸] نشان می‌دهند که بلورهای لوسیت آذرین اولیه در سیستم مکعبی با نسبت Al/Fe₂O₃=۰/۹۸ می‌شوند ولی با ادامهٔ سرد شدن مأگما به شکل چارگوشی با همان نسبت Al/Si تبدیل می‌شوند. از طرف دیگر تبدیل لوسیت به آنالسیم بدون تغییر ساختار بلوری رخ می‌دهد Al/Si آنالسیم حاصل تبدیل لوسیت نیز دارای نسبت‌های متغیر و سیستم تبلور غیر مکعبی خواهد بود. از نظر [۴۸] بلورهای آنالسیم غیر مکعبی نمی‌توانند خاستگاه آذرین داشته باشند. لذا وجود بلورهای آنالسیم چارگوشی و غیر مکعبی در نمونه‌های مورد بررسی می‌تواند نشان دهندهٔ عدم اولیه بودن بلورهای آنالسیم باشد.



شکل ۹ نمودار SiO_2 نسبت به Fe_2O_3 برای جدایش آنالسیم‌های اولیه از آنالسیم‌های ثانویه به نقل از [۲].

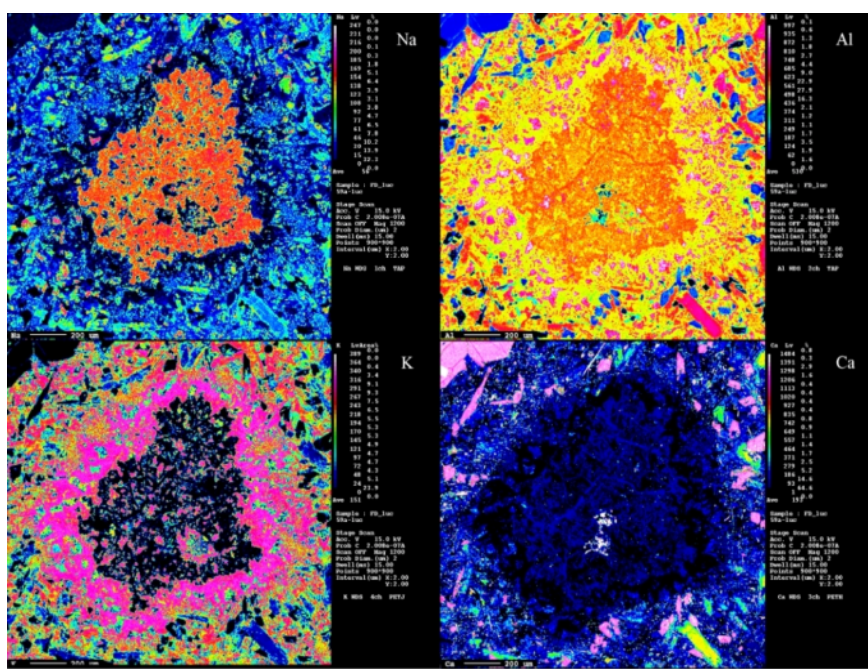


شکل ۱۰ آنالیز خطی بلور آنالسیم از بک حاشیه به حاشیه باقیمانده در کانی آنالسیم به صورت میانبار و موقعیت کانی لوسيت باقیمانده به صورت میانبار در آن.

سنگ‌های این ناحیه کمتر است. لذا کاهش این نسبت می‌تواند نشان دهنده عملکرد فرآیند آنالسیمیتی شدن در این سنگ‌ها باشد که با افزایش مقادیر Na و جانشینی، مقدار K کاهش یافته است. بیشترین مقدار این نسبت به سنگ‌های بازالتی وابسته است که بین $1/14$ تا $5/27$ درصد تغییر می‌کند. بررسی‌های انجام شده [۵۰] روی آنالسیم‌های منطقه‌ی اریاب کنندی شمال مشکین شهر نیز نشان می‌دهد که این آنالسیم‌ها در نتیجه تاثیر شاره‌های غنی از Na و در اثر جانشینی کانی لوسيت به آنالسیم تبدیل شده‌اند و برای آن‌ها خاستگاه ثانویه در نظر گرفته شده است، و علت آن را وجود آثار کانی لوسيت در حاشیه کانی آنالسیم و بالا بودن مقادیر K₂O در سنگ‌های آذرین این ناحیه می‌دانند.

در برخی از نمونه‌ها بقایایی از لوسيت اولیه به صورت میانبار در آنالسیم باقی مانده‌اند. همچنین نقشه‌ی عنصری تهیه شده از بلور آنالسیم (شکل ۱۱) تمرکز عنصر Na در مرکز بلور و نیز آثاری از بلور لوسيت به صورت میانبار در آنالسیم را نشان می‌دهد. در این تصاویر تمرکز عنصر پتاسیم در حاشیه کانی و نیز شکستگی‌ها و ترک‌های موجود در آنالسیم که دارای Ca هستند، مشخص شده است.

ترکیب شیمیایی سنگ‌های حاوی آنالسیم سرشت قلیایی از خود نشان می‌دهند و با توجه به میزان پایین تیتان (کمتر از ۰.۲٪) جزء سنگ‌های شوشوونیتی وابسته به کمان ماگمایی هستند. در این سنگ‌ها نسبت K₂O/Na₂O بین 0.86 تا 5.27 درصد تغییر می‌کند. در سنگ‌های جدایشی حاوی آنالسیم، این نسبت بین 0.95 تا 2.27 درصد تغییر می‌کند که از میانگین



شکل ۱۱ نقشه‌ی عنصری بلور آنالسیم در سنگ تفریت بر اساس عناصر Al, Ca, K, Na با استفاده از ریزپردازندگی الکترونی.

برداشت

بر اساس داده‌های شیمی کانی و پراش پرتو ایکس و نیز وجود بلورهای شکل‌دار، همگن و درشت آنالسیم می‌توان نتیجه گرفت که بلورهای آنالسیم ثانویه در نتیجه واکنش‌های ماقمایی تاخیری در شرایط گرمابی روی بلورهای لوسيت اولیه تشکیل شده‌اند. کانی‌های پلازیوکلаз و پیروکسن‌های این منطقه غنی از Ca هستند و با آنالسیم‌های غنی از Na منطبق نیستند و تایید می‌کند که تشکیل آنالسیم می‌تواند ناشی از جانشینی پاتاسیم موجود در سنگ اولیه به وسیله‌ی سدیم باشد. عدم وجود کانی‌های آبدار اولیه مانند آمفیبول و میکا در سنگ‌های غنی از کانی آنالسیم می‌تواند ثانویه بودن خاستگاه آن‌ها را تقویت نماید که مقدار آب موجود در گدازه‌ها پیش از خروج آن‌ها نسبتاً پایین بوده و به احتمال زیاد برای کاهش دمای آبگون به حدی که بتواند برای تبلور آنالسیم به عنوان یک فاز اولیه در سیستم باقیمانده مناسب باشد، کافی باشد.

قدردانی

از جناب آقای دکتر آو سونگجیجان از آکادمی علوم زمین‌شناسی و ژئوفیزیک چین که ما را در انجام تجزیه‌های ریزپردازشی یاری دادند تشکر و قدردانی می‌نماییم.

مراجع

- [1] O'Brien H.E., Irving A.J. Mc-Callum I.S., "Complex zoning and resorption of phenocrysts in mixed potassio mafic magmas of the Highwood

خاستگاه سدیم و سیالات سدیم‌دار

تغییر و تبدیل کانی لوسيت به آنالسیم نیازمند تعویض یونی K با Na است. به نظر [۵۱]، اگر آب‌های حاوی مقدار کافی Na در محیط وجود داشته باشند، تبدیل لوسيت به آنالسیم حتی در دماهای پایین و سطحی انجام خواهد شد. لذا بنابر بررسی توالی چینه‌شناختی منطقه‌ی مورد بررسی [۲۶, ۳۲]، در افق‌های بالاتر گدازه‌های فوئیدار، تناوبی از مارن‌های ژیپسی، رس، ماسه سنگ و کنگلومرا وجود دارد که حاکی از گسترش یک محیط کم عمق لب سور در منطقه است.

چنین محیطی می‌تواند سدیم لازم برای تغییر و تبدیل کانی لوسيت به آنالسیم را فراهم کند. همچنین پی سنگ منطقه دارای دنباله‌هایی از سنگ‌های کربناتی به سن کرتاسه است. به نظر [۵۲] احتمال هضم شدن این سنگ‌ها به وسیله‌ی ماقمای آبساروکیتی در این ناحیه وجود دارد که این پدیده سبب تشدید تبلور فازهای کلسیک تر (پلازیوکلазها و پیروکسن‌ها) و موجب تمرکز سدیم در مایع باقیمانده ماقمای شده است و چنین مایعی تحت شرایط ساب سالیدوس سبب تغییر لوسيت به آنالسیم شده است. وجود ساختهای بالشی در گدازه‌های آنالسیم‌دار منطقه نشان دهنده خروج این گدازه‌ها در یک محیط آبدار بوده است، که چنین محیطی شرایط فیزیکی و شیمیایی لازم برای تبدیل لوسيت به آنالسیم را داشته است.

- [13] Giampaolo C., Raimondo F.G., Di Sabatino B., Barrese E., "The alteration of leucite-bearing rocks: a possible mechanism" European Journal of Mineralogy (1997) 1277-1292.
- [14] Redkin A.F., Hemley J.J., "Experimental Cs and Sr sorption on analcime in rock-buffered systems at 250–300 °C and Psat and the thermodynamic evaluation of mineral solubilities and phase relations" European Journal of Mineralogy 12, no. 5 (2000) 999-1014.
- [15] Araujo A., Carlson R.W., Gaspar J.C., Buzzi L.A., "Petrology of kamafugites and kimberlites from the Alto Paranaiba alkaline province, Minas Gerais, Brazil." Contributions to Mineralogy and Petrology 142, no. 2 (2001) 163-177.
- [16] Foden J., Song S.H., Turner S., Elburg M., Smith P.O., Steldt B.V., Penglis D.V., "Geochemical evolution of lithospheric mantle beneath SE South Australia" Chemical Geology 182, no. 2 (2002) 663-695.
- [17] Prelević D., Foley S.F., Cvetković V., Romer R.L., "The analcime problem and its impact on the geochemistry of ultrapotassic rocks from Serbia" Mineralogical Magazine 68, no. 4 (2004) 633-648.
- [18] Stalder P., "Magmatismes tertiaire et subrécents entre Taleghan et Alamout, Elbourz central (Iran)" PhD diss., Diss. Naturwiss, ETH Zürich, Nr. 4405 (1971).
- [19] Didon J., Gemain Y.M., "Le Sabalan, volcan plio-quaternaire de l'Azerbaïdjan oriental (Iran): étude géologique et pétrographique de l'édifice et de son environnement régional." PhD diss., Université Scientifique et Médicale de Grenoble (1976).
- [۲۰] [۲۰] لطفی م، "بررسی های زمین شناسی و پترولوزی منطقه شمال - شمال شرق میانه (آذربایجان خاوری)"، پایان نامه کارشناسی ارشد، دانشکده علوم طبیعی، دانشگاه تهران (۱۳۵۷).
- [۲۱] عبادی ل، کمالی ا، فردوسی ر، فدائیان م، حیدری م، "پیوند بین کانی شناسی و سنگ شناسی سنگ های ویژگی های کانی شناسی و سنگ شناسی سنگ های فلدسپاتوئید دار جنوب غرب سراب (شمال غرب ایران)" مجله بلور شناسی و کانی شناسی ایران، شماره ۱ (۱۳۹۴) ص ۱۵-۳۰.
- [22] Lescuyer J.L., Riou R., "Géologie de la région de Mianeh (Azerbaijan): contribution à l'étude du volcanisme tertiaire de l'Iran" PhD diss., Université Scientifique et Médicale de Grenoble (1976).
- [23] Amidi S., Emami M.H., Michel R., "Alkaline character of Eocene volcanism in the middle part of Central Iran and its geodynamic situation." Geologische Rundschau 73, no. 3 (1984) 917-932.
- [24] Milton D. J., "Qal'eh hasan ali maars, central Iran." Bulletin Volcanologique 40, no. 3 (1977) 201-208.
- [25] Mountains, Montana" American Mineralogist 73, no. 9-10 (1988) 1007-1024.
- [26] Luher J.F., Kyser T.K. "Primary igneous analcime: The Colima minettes" American Mineralogist 74 (1989) 216-223.
- [27] Karlsson H.R., Robert N.C., "Analcime phenocrysts in igneous rocks; primary or secondary?" American Mineralogist 76, no. 1-2 (1991) 189-199.
- [28] Pearce T.H., "Analcime phenocrysts in igneous rocks; primary or secondary? discussion" American Mineralogist 78, no. 1-2 (1993) 225-229.
- [29] Dostal J.K., Breitsprecher B.N., Church D.T., Hamilton T.S., "Eocene melting of Precambrian lithospheric mantle: analcime-bearing volcanic rocks from the Challis-Kamloops belt of south central British Columbia" Journal of Volcanology and Geothermal Research 126, no. 3 (2003) 303-326.
- [30] Luth R.W., Bowerman M., "Microtextural and powder-diffraction study of analcime phenocrysts in volcanic rocks of the Crowsnest Formation, southern Alberta, Canada" The Canadian Mineralogist 42, no. 3 (2004) 897-903.
- [31] Prelević D., Foley S.F., Cvetković V., Romer R.L., "The analcime problem and its impact on the geochemistry of ultrapotassic rocks from Serbia" Mineralogical Magazine 68, no. 4 (2004) 633-648.
- [32] Moradian A., "A contribution to the genesis of analcite after leucite in potassic volcanic rocks of the Nadik area, Kerman, Iran" Journal of Sciences, Islamic Republic of Iran 19, no. 1 (2008) 31-48.
- [33] Weisenberger T., Spuerger S., "Zeolites in alkaline rocks of the Kaiserstuhl Volcanic Complex, SW Germany—new microprobe investigation and the relationship of zeolite mineralogy to the host rock" Geologica Belgica (2008) 1-18.
- [34] Yücel, C., Temizel R., Abdioğlu E., Arslan M., Yağcıoğlu U.C., "Origin of analcimes in the Tertiary volcanic rocks from the Eastern Pontides (NE Turkey): a textural, mineralogical and geochemical approach" Neues Jahrbuch für Mineralogie-Abhandlungen: Journal of Mineralogy and Geochemistry 191, no. 3 (2014) 277-299.
- [35] Wilkinson J. F. G., "Analcimes from some potassic igneous rocks and aspects of analcime-rich igneous assemblages" Contributions to Mineralogy and Petrology 18, no. 3 (1968) 252-269.
- [36] Giannetti B., Masi U., "Trace-element behavior during weathering of leucite in potassic rocks from the Roccamonfina volcano (Campania, southern Italy) and environmental implications" Lithos 22, no. 4 (1989) 317-324.

- [38] Saha P., "The system $NaAlSiO_4$ (nepheline)- $NaAlSi_3O_8$ (albite)- H_2O " American Mineralogist 46, no. 7-8 (1961) 859-884.
- [39] Akizuki M., "Origin of optical variation in analcime and chabazite" In Proceedings of the fifth International Conference on Zeolites, Naples (1980) 171-178.
- [40] Akizuki M., "Origin of optical variation in analcime" American Mineralogist 66, no. 3-4 (1981) 403-409.
- [41] Mazzi F., Galli E., "Is each analcime different?" American Mineralogist 63, no. 5-6 (1978) 448-460.
- [42] Takeuchi Y., Mazzi F., Haga N., Galli E., "The crystal structure of wairakite" American Mineralogist 64, no. 9-10 (1979) 993-1001.
- [43] Pechar F., "The crystal structure of natural monoclinic analcime ($NaAlSi_2O_6 \cdot H_2O$)" Zeitschrift für Kristallographie-Crystalline Materials 184, no. 1-4 (1988) 63-70.
- [44] Aoki M., Minato H., "Lattice constants of wairakite as a function of chemical composition" American Mineralogist 65, no. 11-12 (1980) 1212-1216.
- [45] Papezik V. S., Elias P., "Tetragonal Analcime from southeastern Newfoundland" Canadian Mineralogist 18 (1980) 73-75.
- [46] Passaglia E., Sheppard R.A., "The crystal chemistry of zeolites" Reviews in mineralogy and geochemistry 45, no. 1 (2001) 69-116.
- [47] Heaney P.J., Veblen D.R., "A high-temperature study of the low-high leucite phase transition using the transmission electron microscope" American Mineralogist 75, no. 5-6 (1990) 464-476.
- [48] Luth R.W., Bowerman M., "Microtextural and powder-diffraction study of analcime phenocrysts in volcanic rocks of the Crowsnest Formation, southern Alberta, Canada" The Canadian Mineralogist 42, no. 3 (2004) 897-903.
- [49] Coombs D.S., Whetten T., "Composition of analcime from sedimentary and burial metamorphic rocks" Geological Society of America Bulletin 78, no. 2 (1967) 269-282.
- [50] Comin-Chiaromonti P., Meriani S., Mosca R., Sinigoi S., "On the occurrence of analcime in the northeastern Azerbaijan volcanics (northwestern Iran)" Lithos 12, no. 3 (1979) 187-198.
- [51] Gupta A.K., Fyfe W.S., "Leucite survival; the alteration to analcime" The Canadian Mineralogist 13, no. 4 (1975) 361-363.
- [۵۲] قاسمی برقی ا، پتروگرافی و ژئوشیمی ولکانیک‌های آلوسن شمال باختری مشگین شهر پایان نامه دکتری، دانشگاه شهید بهشتی تهران، (۱۳۸۴) ص ۳۲۵.
- [25] Abdioglu E., "Mineralogy and chemistry of zeolites and associated minerals in Tertiary alkaline volcanics from the Eastern Pontides, NE Turkey." Neues Jahrbuch für Mineralogie-Abhandlungen: Journal of Mineralogy and Geochemistry 189, no. 1 (2012) 35-47.
- [۲۶] باباخانی ع.ر، نقشه زمین شناسی چهارگوش لاهرود به مقیاس ۱/۱۰۰۰۰۰، سازمان زمین شناسی و اکتشافات معدنی کشور، (۱۳۷۵).
- [27] Stocklin J., "Structural history and tectonics of Iran: a review" AAPG Bulletin 52, no. 7 (1968) 1229-1258.
- [28] Nezafati N., "Au-Sn-W-Cu-Mineralization in the Astaneh-Sarband Area, West Central Iran: including a comparison of the ores with ancient bronze artifacts from Western Asia" PhD diss., Universität Tübingen (2006).
- [29] Nabavi M.H., "An introduction to the Iranian geology" Geological Survey of Iran, Tehran [in Persian] (1976).
- [30] Alberti A., Cominchiaromonti P., Dibattistini G., Fioriti R., Sinigoi S., "Crystal fractionation in the eastern Azerbaijan (Iran) lower tertiary shoshonitic suite" Neuesjahrbuchfur Mineralogie-Monatshefte 1 (1981) 35-48.
- [31] Deer W.A., Howie R.A., Zussman J., "An introduction to the rock-forming minerals" Longman, London Vol. 696 (1992).
- [۳۲] فدائیان م، پetroگرافی و پترولوژی سنگ های آذرین شمال مشگین شهر، پایان نامه کارشناسی ارشد، دانشگاه شهید بهشتی تهران، (۱۳۸۲) ص ۱۷۵.
- [33] Fuentes F., Aguirre L., Vergara M., Valdebenito L., Fonseca E., "Miocene fossil hydrothermal system associated with a volcanic complex in the Andes of central Chile" Journal of volcanology and geothermal research 138, no. 1 (2004) 139-161.
- [34] Kretz R., "Symbols for rock-forming minerals" American mineralogist 68, no. 1-2 (1983) 277-279.
- [35] Luhr J.F., Giannetti B., "The brown leucitic tuff of Roccamonfina Volcano (Roman region, Italy)" Contributions to Mineralogy and Petrology 95, no. 4 (1987) 420-436.
- [36] Putnis C.V., Geisler T., Schmid-Beurmann P., Stephan T., Giampaolo C., "An experimental study of the replacement of leucite by analcime" American Mineralogist 92, no. 1 (2007) 19-26.
- [37] Saha P., "Geochemical and X-ray investigation of natural and synthetic analcites" American Mineralogist 44, no. 3-4 (1959) 300-313.